

Pb_{(Zn_{1/3}Nb_{2/3})O₃} - Pb_{(Ni_{1/3}Nb_{2/3})O₃} - PTZ 계 세라믹스의 유전 및 압전특성

정현진·손정호·윤상온*

한국과학기술연구원 무기재료실

*강릉대학교 재료공학과

(1990년 3월 14일 접수)

Dielectric and Piezoelectric Properties on Pb_{(Zn_{1/3}Nb_{2/3})O₃} - Pb_{(Ni_{1/3}Nb_{2/3})O₃} - PZT Ceramics

Hyung Jin Jung, Jeong Ho Sohn and Sang Ok Yoon*

Inorganic Materials Lab., KIST.

*Dept. of Materials Engineering, Kangneung National Univ.

(Received March 14, 1990)

요약

Pb_{(Ni_{1/3}Nb_{2/3})O₃} - PZT 계 세라믹스에 Zn⁺²이온을 Ni⁺²이온과 치환하였을 때 유전 및 압전특성에 미치는 영향을 조사하였다. Zn⁺²의 치환량이 증가함에 따라 tetragonality는 증가하였으며, grain size는 감소하였다. Ni⁺²에 대한 Zn⁺²의 치환은 대부분의 영역에서 고용체를 형성할 수 있었다. 이에 따라 Zn⁺²의 함량이 증가할 수록 Curie 온도는 직선적으로 증가하여 온도안전성이 우수하였다. 압전특성은 1250°C에서 조결한 4.5Pb_{(Zn_{1/3}Nb_{2/3})O₃} - 40.5Pb_{(Ni_{1/3}Nb_{2/3})O₃} - 55PZT 인 조성에서 최대 ($\epsilon_{33}^T/\epsilon_0 = 5014$, $k_p = 0.56$, $d_{31} = 250 \times 10^{-12}$ m/V) 값을 나타내었으며, Zn의 고용에 따라 rhombohedral상과 tetragonal상이 tetragonal상 영역으로 상경계의 이동에 기인하여 다시 감소하였다.

ABSTRACT

The effects of substituting Zn⁺² for Ni⁺² ion on dielectric and piezoelectric properties of Pb_{(Ni_{1/3}Nb_{2/3})O₃} - PZT ceramics were investigated. With increasing Zn⁺² contents the tetragonality was appreciably enhanced and the grain size decreased. Both Curie temperature and thermal stability were increased with increase in Zn⁺² contents since the Zn⁺² partial substitution for Ni⁺² could form solid solution in almost range of the composition investigated. Piezoelectric properties showed the maximum ($\epsilon_{33}^T/\epsilon_0 = 5014$, $k_p = 0.56$, $d_{31} = 250 \times 10^{-12}$ m/V) in 4.5Pb_{(Zn_{1/3}Nb_{2/3})O₃} - 40.5Pb_{(Ni_{1/3}Nb_{2/3})O₃} - 55PZT composition sintered at 1250°C and then decreased again due to the phase boundary movement for tetragonal phase of the solid solution of Zn⁺² amount.

1. 서 론

압전재료는 어느 용도에서나 에너지 효율이 좋은 재료,

즉 전기기계 결합계수가 크며 응용시에 기계적 강도나 특성 노화가 없는 신뢰성 있는 물질이 요구된다^[1-3]. 특히 초정밀 미소변위 제이소자(submicro-actuator) 분야에서는

인가 전계에 대해서 변위정도를 나타내는 계수인 압전 d 정수를 향상시킬 수 있지만, 상전이 점인 Curie 온도(이하 T_c)가 감소하여 소자로 응용되었을 때 사용 온도 범위가 좁게 된다⁶⁾.

$Pb(Ni_{1/3}Nb_{2/3})O_3$ (이하 PNN)계는 PZT의 성분으로 하였을 때 Pb를 함유한 다른 화합물보다 고용한계가 높아서 유전상수 및 압전 d 정수를 향상시킬 수 있으며⁷⁾, Sohn^{8,9)}등은 이 계에서 상경계 지점인 $45Pb(Ni_{1/3}Nb_{2/3})O_3 - 36PbTiO_3 - 19PbZrO_3$ (이하 45PNN-36PT-19PZ) 조성에서 유전 및 압전특성이 가장 우수한 반면 T_c 가 140°C 정도로 낮으며, MnO_2 의 첨가에 따라 T_c 가 약 10°C 증가함을 보고하였다.

본 연구에서는 압전특성을 저하시키지 않고 T_c 를 증가하여 온도안전성을 향상하는 데 그 목적이 있다. 따라서 Pb를 함유하는 단일화합물중 T_c 가 140°C 로 비교적 높은 $Pb(Zn_{1/3}Nb_{2/3})O$ (이하 PZN)계를 PNN-PZT계에 화학 양론적으로 치환하여 소결온도에 따른 구조의 변화, 유전 및 압전특성 그리고 온도안정성 등의 영향을 조사하였다.

2. 실험 및 측정

2.1. 시편의 제조

본 실험에서 사용한 원료시약은 순도 99% 이상의 고순도 특급시약이었다. Table 1의 조성비에 따라 칭량한 원료 분말을 습식 혼합하고 900°C 에서 2시간 하소하여, 직경 18mm 금형에서 $1\text{ton}/\text{cm}^2$ 의 압력으로 성형하였다. 소결은 마그네시아 도가니를 사용하여 시간당 300°C 로 $1150 - 1300^{\circ}\text{C}$ 의 온도범위에서 1시간씩 행하였다.

소결된 시편은 연미기(Speed FAM 4B6-L, U.S.A.)를 사용하여 두께 1mm로 상하면을 균일하게 만마하여, 스크린 인쇄법으로 은전극을 부착하였다. 분극처리는 100°C 에서 $3.5\text{kV}/\text{mm}$ 직류전압으로 30분동안 하였다.

Table 1. Composition of Specimens

Specimen No.	Batch Composition (mol%)		
	PZN	PNN	PZT
Z-0	0	45	55
Z-1	4.5	40.5	55
Z-3	13.5	31.5	55
Z-5	22.5	22.5	55
Z-10	45	0	55

2.2. 측정

시편의 밀도 및 기공율을 ASTM STANDARD(C373-72)에 준하여 소결특성을 조사하였으며, X 선 회절기(Rigaku, D/MAX-3A, Japan)를 이용하여 열처리한 시편의 존재상을 관찰하였다. 그리고 시편의 조성에 따른 미세구조는 1050°C , 30분간 열 부식(thermal etching)한 후 SEM(ETEC Co. U.S.A.)으로 관찰하였으며, 조성 변화에 따른 2차상의 생성량 및 변화를 EDAX로 분석 검토했다.

유전특성을 본국처리 전후에 LF Impedance Analyzer(HP 4192A, U.S.A.)를 이용하여 쟝온 및 온도 변화시 capacitance 와 $\tan\delta$ 를 1kHz 에서 측정하였다. 또한 Sawyer-Tower 회로를 이용하여 이력곡선(D-E hysteresis loop)을 관찰하였다.

분극처리 된 시편의 압전특성은 IRE STANDARD(1957)에 근거하여 공진-반공진 방법에 의하여 Network Analyzer(HP3577A U.S.A.)로 측정하였다.

3. 결과 및 고찰

3.1. 소결 특성

Z-1 및 Z-5 조성들에 대한 소결온도에 따른 소결밀도 및 선수축율의 변화를 Fig. 1에 나타내었다. 소결온도가 증가함에 따라 소결밀도 및 선수축율은 전반적으로 증가하다가 소결온도가 1275°C 이후부터 소결밀도는 감소하

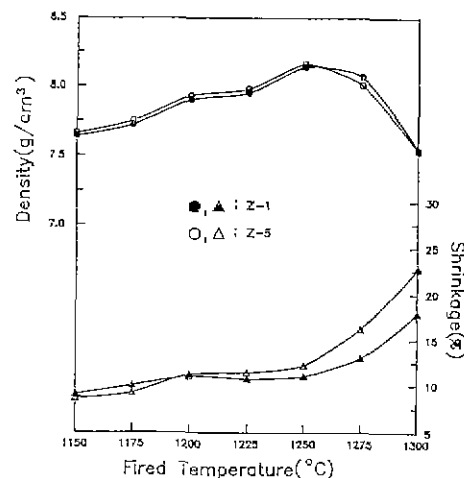


Fig. 1. Bulk density and shrinkage vs. sintering temperature on Z-1 and Z-5 specimens.

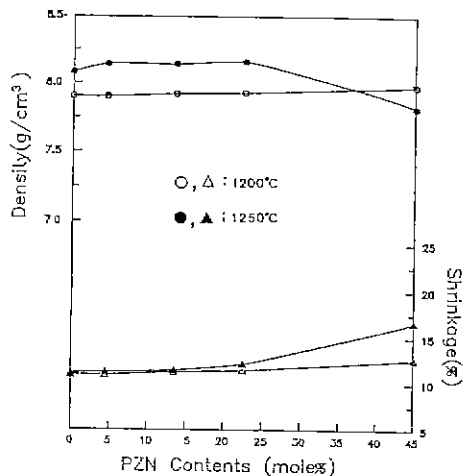


Fig. 2. Bulk density and shrinkage vs. the PZN contents, sintered at 1200°C and 1250°C.

었다. 1300°C 소결시편의 경우 큰 수축율과 함께 침(warping) 현상이 발생되었다.

한편, 소결온도를 1200°C 및 1250°C로 고정하였을 때 Zn의 치환량에 따른 소결밀도를 Fig. 2에 나타내었다. 소결밀도는 7.9(g/cm³) 이상으로 나타났으며, 1200°C 보다 1250°C에서 소결밀도가 전반적으로 높았다. 또한 Zn의 치환량이 증가함에 따른 소결밀도 1250°C인 경우 약간 감소하는 반면 1200°C인 경우 미미하게 증가하였다. 이로써 Zn이 PNN–PZT 세라믹스에 첨가되는 경우 소결온도를

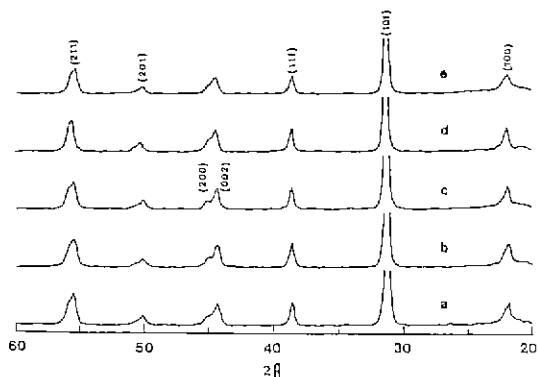


Fig. 3. XRD patterns for Z-5 specimen, sintered at various temperatures, (a) 1175°C, (b) 1200°C, (c) 1225°C, (d) 1250°C, and (e) 1275°C.

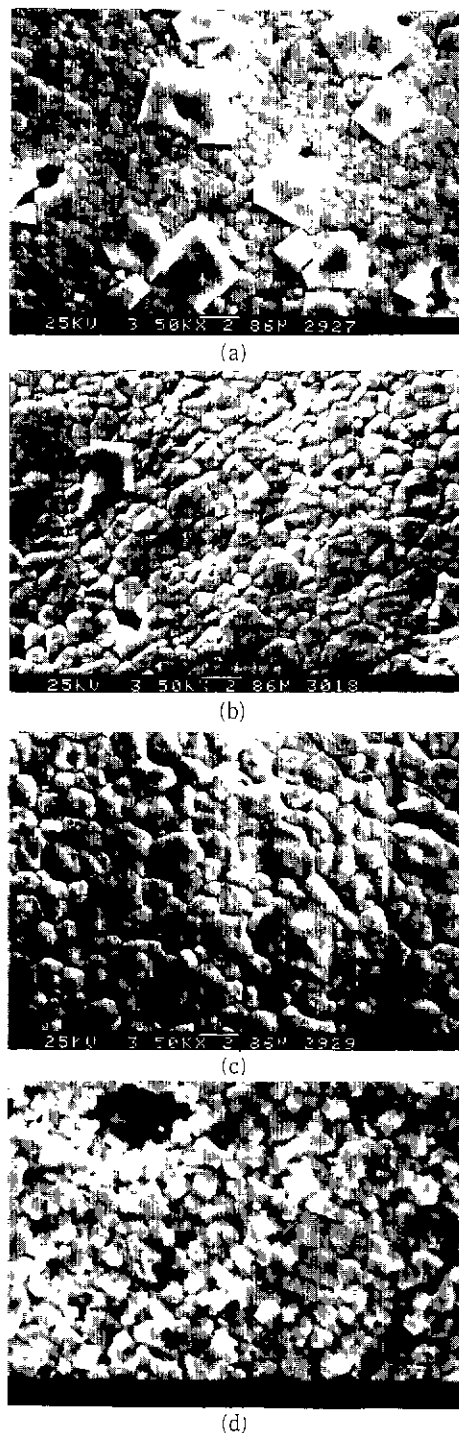


Fig. 4. SEM photographs for Z-5 specimens, sintered at various temperatures; (a) 1175°C, (b) 1225°C, (c) 1250°C, (d) 1300°C and (e) 1275°C.

저하 시킴으로써 1200°C에서는 소결증진에 의해 밀도가 증가함을 볼 수 있으나 1250°C의 소결에서는 PZN의 양이 45mol% 첨가될 경우 오히려 밀도가 저하함을 알 수 있었다.

Fig.3.은 Z-5 시편의 소결온도에 따른 X-선회절분석을 나타낸 것이다. 소결온도가 증가함에 따라 tetragonality가 전반적으로 감소하는 경향을 나타내었다. 그 이유는 소결온도가 증가함에 따라 Pb와 Nb를 함유하는 복합perovskite 조성에서 필연적으로 생성되는 Pb-Nb-O계 pyrochlore 상이 주상인 tetragonal 상과의 고용이 증가함으로써 나타난 결과라고 할 수 있다^{10,11)}.

연마하여 1050°C에서 30분간 열 부식 시킨 Z-5시편의 소결온도에 따른 미세구조 사진을 Fig.4에 나타내었다. 소결온도가 증가함에 따라 입경이 전반적으로 증가함을 볼 수 있다. 1225°C이하에서는 기준의 matrix에서 돌출된 거대한 육각형의 입자들이 많음을 볼 수 있으나 그 이상에서는 사라졌다. 이 거대 돌출 입자의 EDAX 분석 결과는 Fig.5와 같다. 그림에서 A는 기대 입자의 분석 결과이며 B는 작은 입자들의 분석 결과로써 Nb, Ti 및 Zn 피이크에서 큰 차이를 관찰할 수 있다. 즉 작은 입자들의 경우 첨가된 조성들이 고르게 분포하고 있음을 확인할 수 있으나 거대 입자의 경우 Pb와 Nb가 과량 함유된 조성임을 알 수 있으리 이는 Pb-Nb-O계의 pyrochlore 상 ($Pb_3Nb_2O_8$ 로 추측)으로 생각된다. 또한 X-선회절분석 결과에 나타난 tetragonality 감소 현상과 잘 일치하는 것이라고 할 수 있다.

Fig.6은 소결온도를 1250°C로 고정하였을 때 Zn의 치환량에 따른 X-선회절분석을 나타낸 것이다. Zn의 치환량이 증가함에 tetragonality는 0.025/mole 비로 증가하였다. 이는 Zn가 치환됨에 따라 따라 상경계에서 점차 tetragonal 상쪽으로 이동하기 때문으로 생각된다.

Fig.7은 Zn의 치환량에 따라 1250°C에서 소결한 시편들의 미세구조 사진을 나타낸 것이다. Zn의 치환량이 증가함에 따라 입자 크기는 감소하였다. 그 이유는 Zn 치환이 액상을 유발시킴으로서 입성장을 억제하기 때문에 사료되며, Z-10시편에서 과소결에 의해 입자 형태가 둥글게 변형 되어있는 것을 볼 수 있는데, 이는 소결밀도가 감소하는 현상과 잘 일치함을 알 수 있다.

3.2. 유전 특성

온도에 따른 유전율의 변화를 소결온도에 따라서 Fig.8에 나타내었다. 소결온도가 증가함에 따라 성전이 온도인 T_c 는 약간 감소하였으며, 이런 현상은 Zn의 치환량이 많을 수록 크게 나타났다. 그 이유는 X-선회절분석, EDAX 및 미세구조사진 결과에서 관찰하였듯이 pyrochlore 상이 온도 증가에 따라 흡수되었기 때문에 T_c 가 약간

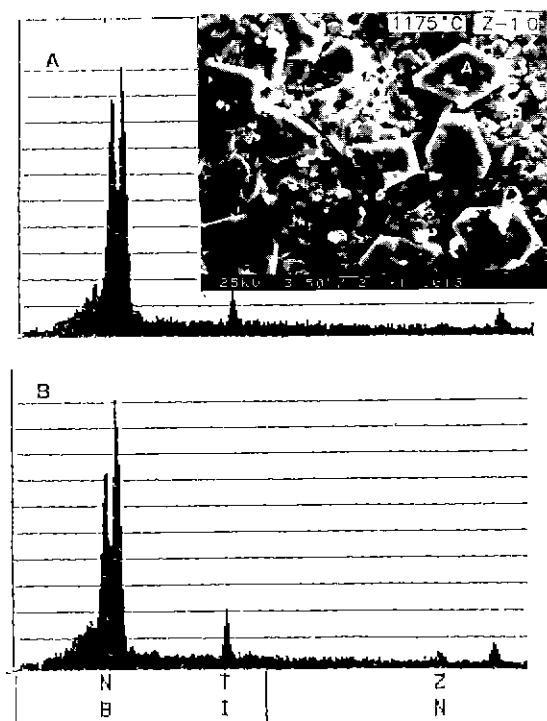


Fig.5. EDAX analysis of region A and B on Z-10 specimen, sintered at 1175°C.

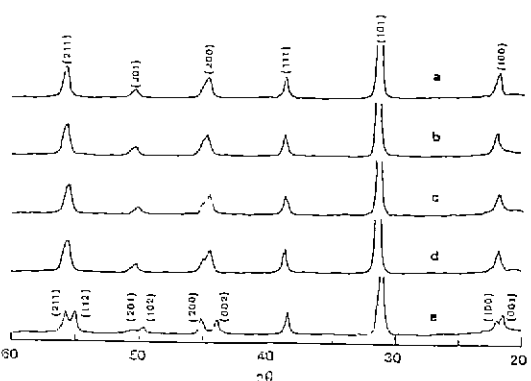


Fig.6. XRD patterns for various PZN contents, sintered at 1250°C ; (a) Z-0, (b) Z-1, (c) Z-3, (d) Z-5 and (e) Z-10.

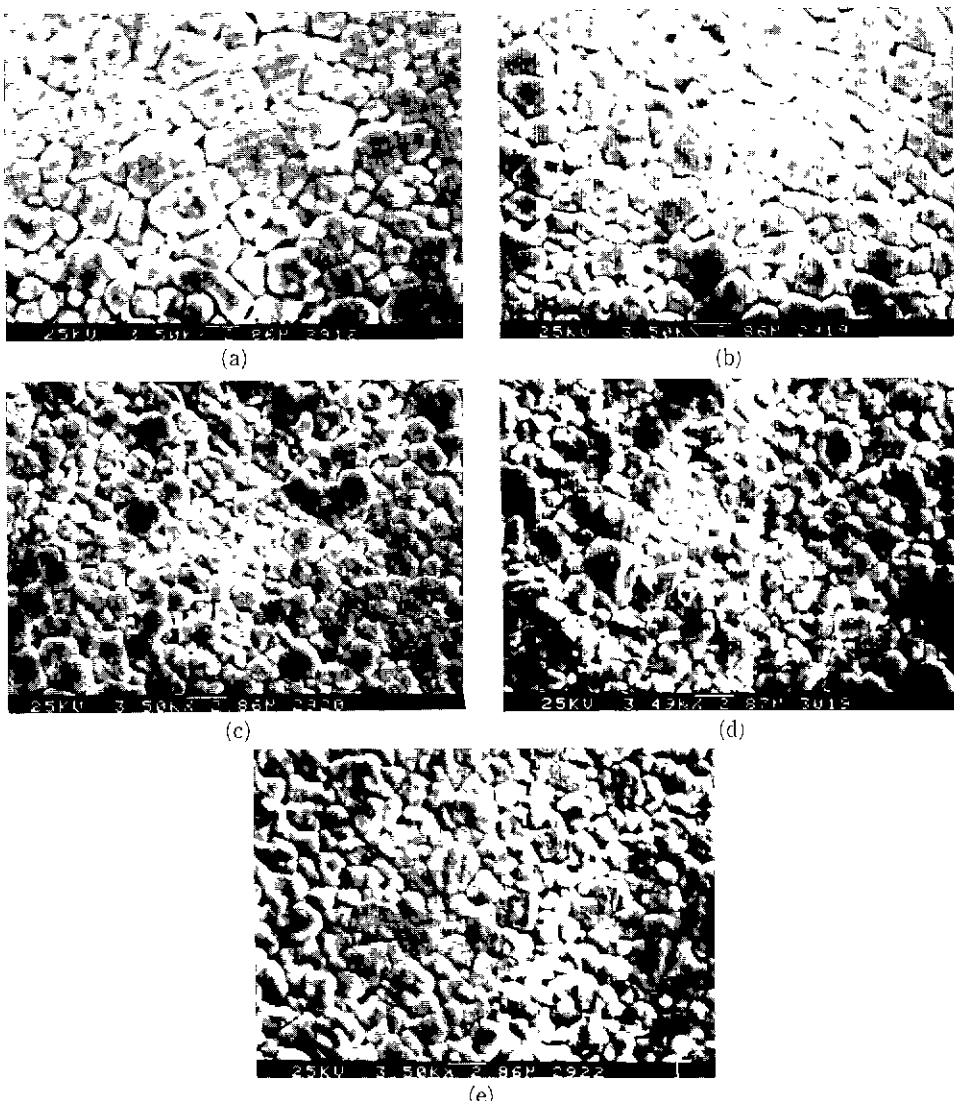


Fig.7. SEM photographs of various PZN contents, sintered at 1250°C

(a) Z-0, (b) Z-1, (c) Z-3, (d) Z-5, and (e) Z-10.

높게 나타났다. 그리고 소결온도 증가에 따른 유전상수의 증가는 pyrochlore 상의 양의 감소와 입자크기의 증가와 일치함을 알 수 있다.

Fig.9는 온도에 따른 유전상수의 변화를 Zn의 치환량에 따라 나타내었다. Zn의 치환량이 증감함에 따라 T_c 가 증가하였으며 퍼이크치는 증가하다가 감소하였다. 그 이유는 X-선회절분석에서 언급한 바와 같이 상경계(rhombohedral과 tetragonal상)를 벗어났기 때문이다

Fig.10은 Fig.8과 Fig.9에 인급한 것으로 Zn의 치환량 및 소결온도에 따른 T_c 의 변화를 종합적으로 나타낸 것이다. 소결온도가 증가함에 따라 T_c 는 미미하게 감소하였으며 소결온도를 1250°C로 고정하였을 때 Zn의 치환량에 비례하여 1.1°C/mol%의 비로 선형적으로 증가하였다

Fig.11은 Zn의 치환량에 따른 잔류분극 및 항건체를 나타낸 것이다. X-선회절분석에서 관찰하였듯이 Zn의 치환량이 증가함에 따라 상경계 영역을 벗어나 잔류분극이

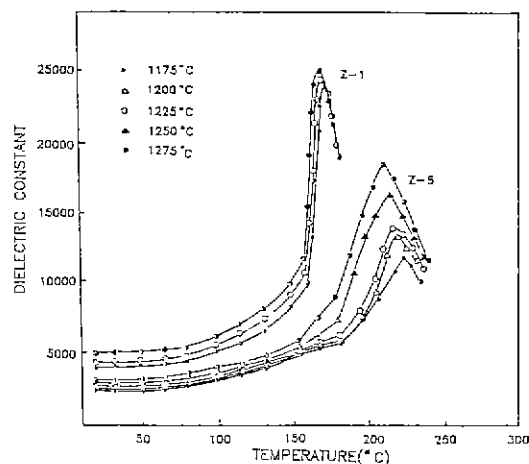


Fig. 8. Dielectric constant as a function of temperature and sintering temperature for Z-1 and Z-5 specimens.

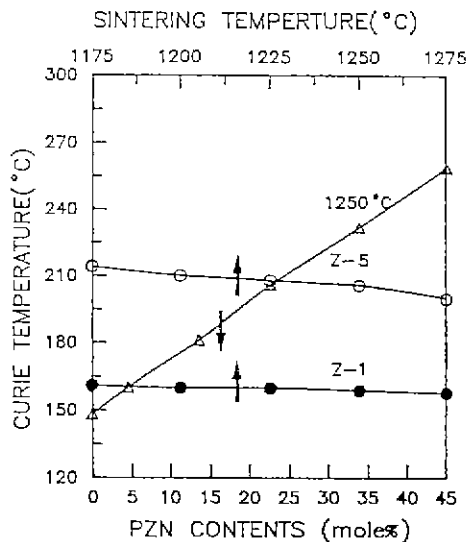


Fig. 10. Variation of Curie temperature in dielectric properties as a function of PZN contents and sintering temperature.

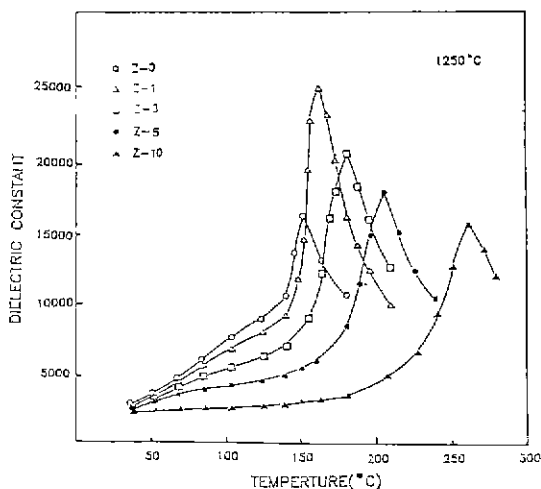


Fig. 9. Dielectric constant as a function of temperature and PZN contents, sintered at 1250°C.

감소하였으며 항전계도 같은 경향을 나타내었다.

3.3. 암전 특성

소결온도에 따른 유전상수, k_p 및 Q_m 의 변화를 Fig. 12에 나타내었다. 소결온도가 1250°C일 때 k_p 및 유전상수는 피이크치를 보이며, Q_m 은 소결온도가 증가함에 따라 감소하였다. 그 이유는 Fig. 1과 Fig. 2에서 관찰하였듯이 pyrochlore 상 양의 감소와 입자의 성장 그리고 소결밀도의 증가에 기인하기 때문이라 할 수 있다.

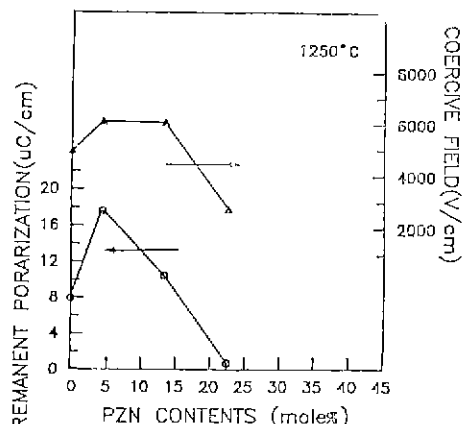


Fig. 11. Remanent polarization and coercive field as function of PZN content, sintered at 1250°C.

Fig. 13은 Zn 의 치환량에 따른 유전상수, K_c , 및 Q_m 의 변화를 나타낸 것이다. Z-1조성에서 K_p 및 유전상수는 최대(56%, 5015)를 나타내었으며, Q_m 은 최소(69)이다. 이는 Fig. 6에서 관찰한 바와같이 Zn 가 치환됨으로써 rhombohedral과 tetragonal 상의 상경계 영역에 서 tetragonal 상 영역으로 이동함으로써 나타난 결과라고 사료된다.

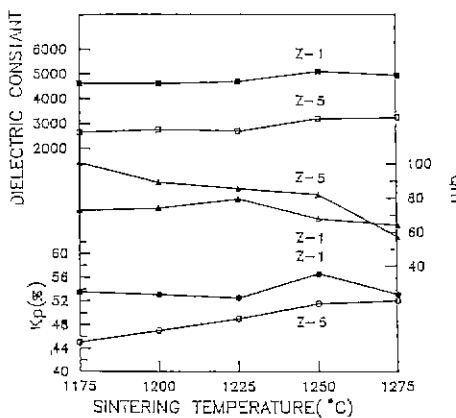


Fig. 12. Dielectric constant, K_p and Q_m as function of sintering temperature on Z-1 and Z-5 specimens.

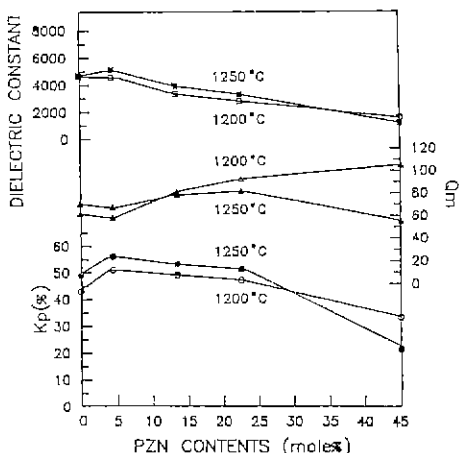


Fig. 13. Dielectric constant, k_p and Q_m as a function of PZN contents.

또한 actuator 용 압전세라믹스를 평가하는 데 실용적으로 사용되는 정수는 인가진계에 대해서 산출되는 정도를 나타내는 d_{31} 과 d_{33} 등¹²⁾이다. Fig. 14는 Zn의 치환량에 대한 d_{31} 과 g_{31} 및 유전상수를 비교하여 나타낸 것이다. 역시 상경계 지점이라 생각되는 Z-1 조성에서 d_{31} 값이 최대임을 알 수 있으며, 또한 인가응력에 대해서 전위 발생 정도를 나타내는 압전 g_{31} 정수는 압전 d 정수에는 비례하지만 유전상수에는 반비례하는 것에 기인하여 Z-5조성에서 최대($5.6 \times 10^{-3} \text{Vm/N}$)를 나타내었다.

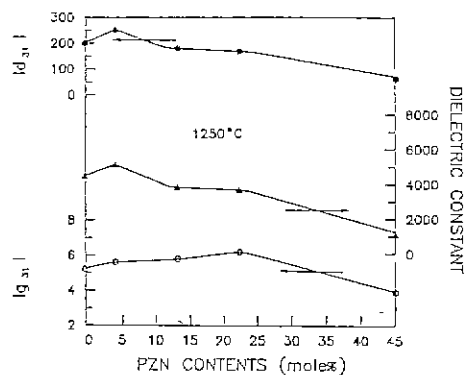


Fig. 14. g_{31} , d_{31} and dielectric constant as a function of PZN content.

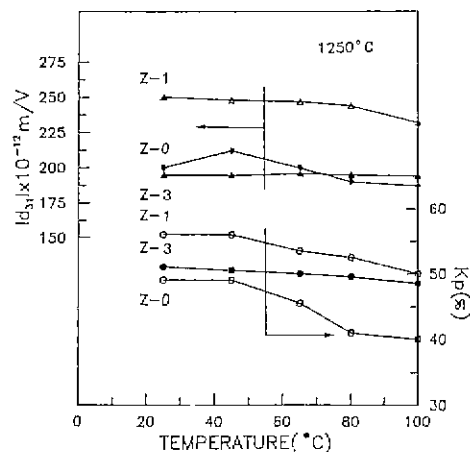


Fig. 15. d_{31} and K_p as a function of temperature on Z-0, Z-1 and Z-3 specimens, sintered at 1250°C.

한편, 전술한 바와 같이 기본조성인 PNN-PZT계는 다른 삼성분계 PZT에 비해 압전 d 정수가 큰 반면 T_c 가 낮아서 소자로 이용되었을 때 실 사용온도 범위가 좁게 된다는 것이 문제점으로 남아있었다⁸⁾. Fig. 15는 실온에서 100°C까지의 온도 변화에 따른 K_p 와 d_{31} 의 값을 나타낸 것이다. Zn 치환량이 증가함에 따라 온도안전성이 증가하는데, 이는 Fig. 10에서 T_c 의 증가에 기인함을 알 수 있었다.

4. 결 론

- 1) Zn의 양이 증가함에 따라 tetragonality는 증가하였으며, 소결밀도는 grain size 감소에 기인하여 소량 감소하였다.
- 2) 소결온도가 증가함에 따라 pyrochlore상이 흡수되어 tetragonality는 감소하였으며 grain size는 증가하였다.
- 3) Curie 온도는 Zn의 치환량이 증가함에 따라 대부분의 영역에서 고용을 이루어 직선적으로 증가하였으며, 소결온도가 올라감에 따라 pyrochlore상이 흡수되어 소량 감소하였다.
- 4) 4.5PZN-40.5PNN-55PZT (Z-1) 조성에서 압전 특성이 최대치를 나타냈으며, Zn의 고용에 따라 rohmbohedral과 tetragonal상의 성경계가 tetragonal상 영역으로 이동함에 따라 다시 감소하였다.
- 5) 1250°C에서 소결한 Z-1 조성은 잔류분극이 $18\mu\text{C}/\text{cm}^2$, 항전계가 $600\text{V}/\text{cm}$, 압전 d_{31} 정수가 $250 \times 10^{-12}\text{m}/\text{V}$, k_p 가 56%, 그리고 유전상수가 5014이었다.
- 6) $\text{Pb}(\text{Ni}_{1/3}\text{Nb}_{2/3})\text{O}_3-\text{PZT}$ 조성에 비하여 Zn를 치환하였을 때 온도안전성이 우수하게 나타났다.

REFERENCES

1. H. Ouchi, K. Nagano and S. Hayakawa "Piezoelectric Properties $\text{Pb}(\text{Mg}_{1/3}\text{Nb}_{2/3})\text{O}_3-\text{PbTiO}_3-\text{PbZrO}_3$ Solid Solution Ceramics," *J. Am. Ceramic Soc.*, **48**, 630-5 (1965).
2. 小谷野昭夫, "壓電磁器," 日本特許, 49-45113, (1974).
3. 喜田正弘, 安田悦朗, 松岡弘志, "セラシツタス壓電材料," 日本特許, 61-147589, (1986).
4. B. Jaffe, W.R. Cook and H. Jaffe, "Piezoelectric Ceramics," Academic Press, (1971).
5. S. Takahashi, A. Ochi, M. Yonezawa, T. Yano, T. Hamatsuki and I. Fukui, "Internal Electrode Piezoelectric Ceramic Actuator," *Ferroelectrics*, **50**, 189-90 (1983).
6. "アクチュエイタ用 壓電セラシツタス 注目の 應用發展," *Nikkei New Materials*, **2**, 40-50 (1987).
7. 電子材料工業會 "壓電セラシツタスと その應用," 電波新聞社, 116-7 (1974).
8. 손정호, 남효덕, 조상희, " $\text{Pb}(\text{Ni}_{1/3}\text{Nb}_{2/3})\text{O}_3-\text{PbTiO}_3-\text{PbZrO}_3$ 계의 유전 및 압전 특성," *J. Kor. Ceram. Soc.*, **25**, 523-31 (1988).
9. 전구락, 손정호, 김정주, 조상희, " $\text{Pb}(\text{Ni}_{1/3}\text{Nb}_{2/3})\text{O}_3-\text{PbTiO}_3-\text{PbZrO}_3$ 계의 삼방정, 정방정 및 상경계 조성에서의 MnO_2 첨가에 따른 유전 및 압전특성의 비교," *J. Kor. Ceram. Soc.*, **25** (5), 488-94 (1988).
10. M.P. Kassarjian, R.E. Newham, and J.V. Biggers, "Sequence of Reactions during Calcining of a Lead-Iron Niobate Dielectric Ceramic," *Am. Ceram. Soc. Bull.*, **64**, (8), 1103-11 (1985).
11. T.R. Shrout and A. Halliyal, "Preparation of Lead-Based Ferroelectric Relaxors for Capacitors," *Am. Ceram. Soc. Bull.*, **64** (4), 704-11 (1987).
12. S. Nomura and K. Uchino, "Electrostrictive Effect in $\text{Pb}(\text{Mg}_{1/3}\text{Nb}_{2/3})\text{O}_3$ Type Materials," *Ferroelectrics*, **41**, 117-132 (1982).